



ژئوشیمی و پتروزنر سنگ‌های آتش فشانی کوه چهلتن؛ جنوب غرب بردسیر

(استان کرمان)

پروچهر احمدی مقدم^{*}، حمید احمدی پور

بخش زمین شناسی دانشگاه شهید باهنر کرمان

(دريافت مقاله: ۹۱/۳/۷، نسخه نهایی: ۹۱/۷/۲۹)

چکیده: کوه چهلتن، در ۱۶ کیلومتری جنوب غرب شهرستان بردسیر (استان کرمان) واقع شده و بخشی از مجموعه آتش فشانی هزار (کمربند ارومیه - دختر) با سن ائوسن است. سنگ‌های منطقه‌ی مورد بررسی شامل تنابوی از گدازه، سنگ‌های پیروکلاستیک و اپی کلاستیک و توده‌های نفوذی متعدد هستند. گدازه‌ها بیشتر از جنس بازالتیک آندزیت و بازالت بوده و در آنها بلورهای درشت پلازیوکلاز و کمی بلور پیروکسن در یک زمینه‌ی ریزدانه تا شیشه‌ای دیده می‌شود. بر اساس بررسی‌های ژئوشیمیایی، گدازه‌های منطقه به سری ماگمای آهکی- قلیایی و پتاسیم آهکی- قلیایی بالا وابسته‌اند و در نمودارهای هارکر، روندی ترکیبی پیوسته را نشان می‌دهند که می- تواند حاصل تبلور جدایشی کانی‌های نظیر الیوین باشد. در نمودارهای عنکبوتی گدازه‌های سنتگزایی، گدازه‌های منطقه به سری Ta, Ti, Nb, HREE و مثبت Rb, Th, Ba و LREE به خوبی دیده می‌شوند. این حالت، مشابه ویژگی‌های ماگماهای وابسته به مناطق فرورانش بوده و پدیده‌ی آلایش پوسته‌ای را در سنگ‌ها نشان می‌دهد. بر اساس بررسی‌های سنتگزایی، گدازه‌های منطقه به حاشیه فعال قاره‌ای وابسته‌اند و همه‌ی آنها خاستگاه مشترکی دارند. این بررسی‌های نشان داد که ماگماهای مادر سنگ‌های منطقه، احتمالاً در اثر ذوب بخشی یک گوشه‌ی دگرنهاد، در محیط فرورانشی ایجاد شده‌اند.

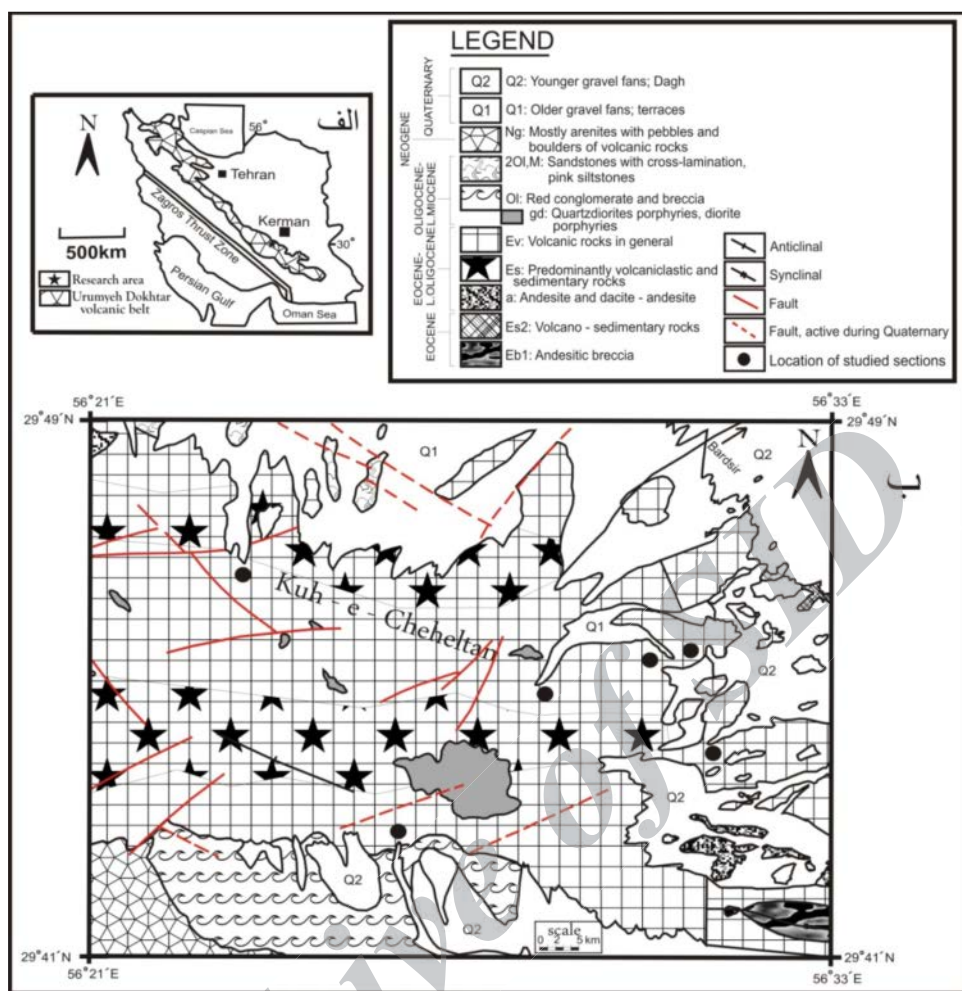
واژه‌های کلیدی: کمربند آتش فشانی ارومیه- دختر، سری آهکی- قلیایی، حاشیه قاره‌ای فعال، آلایش پوسته‌ای.

چهار گنبد [۴] با مقیاس ۱/۱۰۰۰۰ و نقشه‌ی زمین‌شناسی سیرجان [۵] با مقیاس ۱/۲۵۰۰۰۰۰ است که منطقه را جزئی از همیافت هزار معرفی کرده و گستره‌ی سنی آن را از ائوسن تا کواترنری در نظر گرفته‌اند. در این مقاله، سعی شده است تا با استفاده از روش‌های مختلفی از جمله بررسی‌های صحرایی، سنگنگاری و شیمی سنگ کل، تا حدودی خاستگاه ماگماهای سازنده‌ی این سنگ‌ها و شکل گیری‌های بعدی در آنها بررسی شوند. از آنجا که هنوز بررسی‌های دقیقی در این بخش از کمربند دهچ- ساردوئیه صورت نگرفته است، این بررسی، ضروری به نظر می‌رسد.

مقدمه

منطقه‌ی مورد بررسی (کوه چهلتن)، در جنوب غربی شهرستان بردسیر در استان کرمان واقع شده است. این منطقه بخشی از کمربند ارومیه - دختر است (شکل ۱(الف) [۱]) که در استان کرمان به نام نوار دهچ - ساردوئیه خوانده شده و سن سنگ- های آذربین موجود در آن ائوسن است [۲]. سنگ‌های این منطقه، گستره‌ی نسبتاً وسیعی را می‌پوشانند و شامل تنابوی از گدازه و پیروکلاستیک را تشکیل می‌دهند که توده‌های نفوذی متعددی در آنها نفوذ کرده‌اند (شکل ۱(ب)). تنها بررسی انجام شده در این منطقه، نقشه‌های زمین‌شناسی بردسیر [۳] و

* نویسنده مسئول، تلفن نمبر: ۰۳۴۱۳۲۲۰۰۴۱، پست الکترونیکی: pahmadi.moghadam@yahoo.com



شکل ۱ (الف) موقعیت منطقه‌ی مورد بررسی در ایران و کمربند ارومیه - دختر[۱]؛ (ب) نقشه‌ی زمین‌شناسی کوه چهلتن[۳][۴].

شکلدار و نیمه شکلدار و صفحه‌ای در سنگ دیده می‌شوند. این کانی‌ها، گاهی انباسته‌هایی در سنگ‌های آندزیتی تشکیل می‌دهندند (شکل ۲ الف). پیروکسن‌های موجود در این سنگ‌ها، به رنگ سیاه دیده می‌شوند و از فراوانی کمتری برخوردارند و گاهی به همراه پلازیوکلازها، سمتگیری واضحی در سنگ به نمایش می‌گذارند. گذاره‌های بازالتی موجود در منطقه، فراوانی کم تری دارند، رنگشان سیاه بوده و تراکم بلور در آنها پایین‌تر است. این سنگ‌ها دارای کانی‌های پلازیوکلاز، پیروکسن و الیوین هستند، ولی پلازیوکلاز همچنان از فراوانی بیشتری برخوردار است. ویژگی‌های کانی‌شناسی پلازیوکلاز و پیروکسن در بازالت‌ها، همانند آندزیت‌هاست. هر چند در بازالت‌ها، اندازه‌ی بلورها کوچک‌تر است و این گذاره‌ها گاهی با دایک‌های دیابازی قطع شده‌اند (شکل ۲ ب).

پیروکلاستیک‌های موجود در منطقه، با گذاره‌ها به صورت متناوب قرار گرفته و در بسیاری موارد به شکل تناوبی از لایه-

روش بررسی از واحدهای سنگی بررسی شده در منطقه، ۱۵ نمونه از گذاره‌های دگرسان نشده، انتخاب و برای تجزیه‌ی سنگ کل، به شرکت کانپژوه و از آنجا به آزمایشگاه SGS تورنتو کانادا فرستاده شد. تجزیه شیمیایی نمونه‌ها برای عناصر اصلی، به روش ICP-AES و برای عناصر فرعی و کمیاب، به روش MS انجام شد، و برای هر نمونه ۱۱ اکسید اصلی و ۳۶ عنصر فرعی و کمیاب اندازه گیری شده‌اند.

ویژگی‌های سنگ‌شناسی واحدهای منطقه
در منطقه‌ی مورد بررسی دو نوع گذاره‌ی آندزیتی و بازالتی شناسایی شده‌اند. آندزیت‌ها فراوان‌تر و حاوی بلورهای پلازیوکلاز درشت دانه (با طول حداقل ۲ سانتی‌متر) و بلورهای پیروکسن ریز دانه (با طول حداقل ۰.۵ سانتی‌متر). پلازیوکلازها فراوانی بالایی داشته و به صورت بلورهای سفید

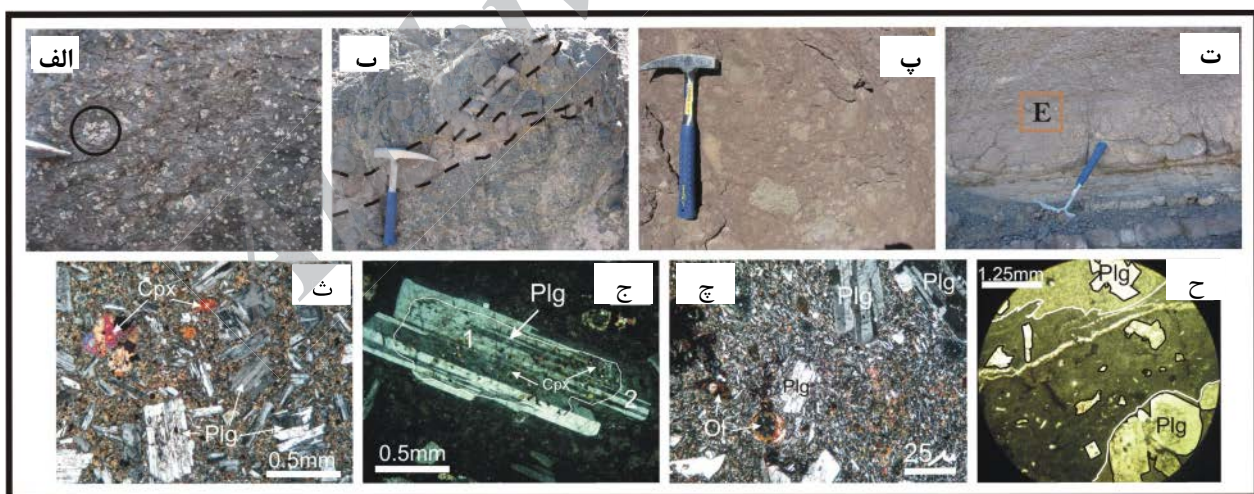
دیده می‌شوند. پلازیوکلازها نیز بافت‌های ناتعادلی خاصی همانند بافت غربالی، خوردگی و منطقه‌بندی (شکل ۲ج) نشان می‌دهند.

در بازالت‌های منطقه، مقدار درشت بلور حداکثر به ۳۰ درصد می‌رسد و باقیمانده‌ی سنگ را زمینه‌ی شیشه‌ای یا ریزبلور تشکیل می‌دهد. این درصد نسبتاً بالای درشت بلور، در بازالت‌ها تقریباً غیر معمول است. درشت بلورهای این سنگ‌ها شامل پلازیوکلاز، کلینوپیروکسن و الیوین هستند و از نظر سنگ‌نگاری نیز شباهت زیادی با درشت بلورهای موجود در بازالتیک آندزیت‌ها دارند. بافت کلی بازالت‌ها میکرولیتیک پورفیری یا جریانی است (شکل ۲ج) و وجود شکل‌های گلومرپورفیری و برونبوهم‌های گابرویی ریزدانه از ویژگی‌های آنهاست.

بررسی‌های سنگ‌نگاری دقیق سنگ‌های منطقه نشان داد که پلازیوکلازهای موجود در این سنگ‌ها، انواع بافت‌های ناتعادلی غربالی و غباری را به نمایش می‌گذارند. انواع بافت غربالی موجود در پلازیوکلازهای این گدازه‌ها عبارتند از بافت غربالی ریز با حاشیه‌ی روشن (Clear) نازک، بافت غربالی ریز با حاشیه‌ی روشن و ضخیم، بافت غربالی درشت با حاشیه‌ی روشن و نازک، بافت غربالی درشت فاقد حاشیه‌ی روشن،

های درشتدانه و ریزدانه دیده می‌شوند. این سنگ‌ها شامل انواع برش‌های آتش‌خشانی (برش‌های گدازه‌ای (شکل ۲پ) و به صورت برش‌هایی با خاستگاه پیروکلاستیک‌های ریزشی)، آگلومراها (شکل ۲ت)، ایگنیمیریت‌ها، توف‌های ریزدانه و توفیقت‌ها دیده می‌شوند.

بررسی‌های سنگ‌نگاری نشان داد که گدازه‌های منطقه را می‌توان در دو گروه بازالتیک آندزیت و بازالت جای داد. در بازالتیک آندزیت‌ها، مقدار درشت بلور بین ۳۰ تا ۵۰ درصد متغیر بوده و مقدار میکروفنوکریست (بلورهایی که طول آنها بین ۱ تا ۲ میلی‌متر است [۶]) بین ۲۰ تا ۵۰ درصد تغییر می‌کند. این سنگ‌ها حاوی درشت بلورهای پلازیوکلاز، کلینوپیروکسن و اندکی الیوین هستند که در یک زمینه‌ی شیشه‌ای یا میکرولیتی حاوی میکرولیت‌های پلازیوکلاز و دانه‌های بسیار ریز پیروکسن قرار گرفته‌اند. پلازیوکلازهای زمینه عموماً یک بافت جریانی را نشان داده و بنظر می‌رسد که نسبت به فنوکریست‌های پلازیوکلاز، ترکیب سدی‌تری دارند. الیوین فقط در بعضی از نمونه‌های این سنگ‌ها دیده شده و کاملاً دگرسان شده است. بافت این سنگ‌ها سری‌ایت (شکل ۲ث)، ریز بلور پورفیری یا جریانی است و انباشت‌هایی به صورت گلومرپورفیری و معمولاً شامل بلورهای پلازیوکلاز و پیروکسن،



شکل ۲ (الف) گدازه‌ی آندزیتی حاوی پلازیوکلاز فراوان. در بعضی نقاط، انباشتی از چند بلور پلازیوکلاز دیده می‌شوند. (ب) گدازه‌ی بازالتی در منطقه که به وسیله‌ی دایک‌های ریز دانه قطع شده است. (پ) برش گدازه‌ای منطقه حاوی قطعاتی از جنس گدازه که در یک زمینه از گدازه قرار گرفته‌اند. (ت) لایه‌بندی ظریف در پیروکلاستیک جریانی منطقه (E). (ث) بافت سری ایت حاوی بلورهای پلازیوکلاز جریانی منطقه (E). (ج) پلازیوکلاز منطقه‌بندی در گدازه‌های بازالتیک آندزیت منطقه که حاشیه‌ی آن دارای منطقه‌بندی مشخص بوده و دگرسانی ندارد (نور قطبی متقاطع). (ج) بافت جریانی در بازالت‌های منطقه حاوی فنوکریست‌های پلازیوکلازهای غربالی و الیوین دگرسان. (ح) اشکال حاصل از آمیختگی ماقمایی در گدازه‌های بازالتیک آندزیت منطقه، بخش تیره‌تر به صورت زبانه به درون بخش روشن تر نفوذ کرده و شکل بلورها، شکل بخش تیره تر را کنترل کرده است.

صورت نوارهای نامنظم با مرزهای نامنظم در میان بخش روشن تر قرار گرفته و در بعضی موارد، از فنوکریست غنی تر است. سطوح منحنی و نامنظم بخش تیره‌تر، گاهی به وسیله‌ی شکل فنوکریست‌ها کنترل شده است و بخش تیره، در حال از بین رفت و هضم شدن در بخش روشن است. این شواهد بخوبی آمیخته شدن مagmaهای روشن تر و تیره‌تر را نشان داده و واضح است که دو بخش تیره‌تر و روشن تر، از نظر ترکیبی و کانی‌شناسی، تفاوت چندانی با یکدیگر ندارند (شکل ۲).

ژئوشیمی و سنگ‌زایی

نظر به اینکه بخش بزرگ سنگ‌های گدازهای منطقه را زمینه‌ی شیشه‌ای و بسیار ریزدانه تشکیل می‌دهد، برای بررسی دقیق تر خاستگاه این سنگ‌ها، ناچاریم از ترکیب شیمیایی سنگ کل آنها استفاده کنیم. لذا در این بخش سعی شده است که با استفاده از تجزیه‌های شیمیایی و نمودارهای مختلف، شکل گیری‌هایی سنگ‌شناسی و شرایط تشکیل سنگ‌های منطقه روشن تر شود.

در نمودار نامگذاری Zr/TiO_2 - Nb/Y [۱۵] (شکل ۳ الف)، نمونه‌های سنگی منطقه، در گستره‌ی بازالتیک آندزیت و بازالت قرار می‌گیرند. همچنین در نمودار تعیین سری مagmaی، با استفاده از مقدار K_2O نسبت به SiO_2 [۱۶] (شکل ۳ ب)، نمونه‌های سنگی منطقه در گستره‌ی سری آهکی-قلیایی و آهکی-قلیایی با پتاسیم بالا قرار می‌گیرند. البته نمونه‌هایی که در بخش آهکی-قلیایی غنی از پتاسیم قرار دارند، گدازه‌های جدآشده‌ترند (بازالتیک آندزیت‌ها).

از ویژگی‌های سنگ‌های آتش فشانی مربوط به جزایر قوسی، روند خطی و پیوسته‌ی مثبت در نمودار K_2O-SiO_2 است، در حالیکه در سنگ‌های آتش فشانی که در حواشی فعال قاره، داده‌ها کمی پراکنده‌ی دارند (مثل سنگ‌های کوه چهلتن). این حالت می‌تواند به آن علت باشد که magmaهای مادر این سنگ‌ها دستخوش آلودگی پوسته‌ای شده‌اند.

بررسی روند تغییرات عناصر در نمودارهای هارکر نشان می‌دهد که با افزایش مقدار سیلیس، اکسیدهای عناصر اصلی مانند P_2O_5 و CaO ، Al_2O_3 و Fe_2O_3t روند نزولی و MgO روند خاصی نشان نمی‌دهند. در نمودارهای هارکر، روند عناصر فرعی و کمیاب مانند Zn و Rb و Ba و Zr صعودی و این روندها برای عناصر Co ، V و Nb نزولی است (شکل ۴). روندهای نزولی مشاهده شده در بعضی از این نمودارها (مانند نمودارهای MgO ، Al_2O_3 ، Fe_2O_3t و Co ، CaO ، Fe_2O_3t و V)، می‌توانند به دلیل تبلور پلازیوکلاز

بافت غربالی‌ریز و حاوی منطقه‌بندی با حاشیه‌ی شکلدار و مرکز روشن و خورده شده، بافت غربالی‌ریز و حاوی منطقه‌بندی با مرکز و حاشیه‌ی روشن و خورده شده، بافت غربالی که فقط در مرکز کانی متمرکز شده است، بافت غربالی پراکنده و نامنظم در کانی، بافت غباری حاوی منطقه‌بندی با حاشیه‌ی روشن و نازک و مرکز روشن و بافت غباری با حاشیه‌ی روشن و نازک. بافت غربالی در پلازیوکلازها، نتیجه‌ی وجود لکه‌های ریز در سطح بلور است. این لکه‌ها، ادخال‌های کوچک و بهم بسته شیشه‌ای یا دیگر مواد زمینه هستند که ظاهری حفره‌ای به بلور می‌دهند [۷]. علتهای متفاوت برای ایجاد چنین بافتی ارائه شده‌اند. وقتی که بلور پلازیوکلاز در دماهای بالاتر از آبگونی قرار می‌گیرد، ممکن است بخش‌هایی از آن ذوب شده و بافت غربالی پیدا کند [۷]. علاوه بر این، بافت‌های غربالی، غباری و اسفنجی، در پلازیوکلازهای موجود در سنگ‌های آذرین با خاستگاه اختلاط magmaای و در بروونیوم‌های magmaای سریع سرد شده^۱ گزارش شده است [۸]. همچنین، بافت غربالی درشت در پلازیوکلاز، در اثر کاهش فشار [۹] و یا گرمادهی [۱۰] در آزمایشگاه بوجود آمده است.

یکی از ویژگی‌های گدازه‌های موجود در منطقه، وجود پلازیوکلازهایی است که منطقه‌بندی شاخصی دارند. وجود منطقه‌بندی در بلورها را نشان دهنده‌ی اختلاط magmaای می‌دانند که از نظر ترکیبی متفاوت هستند [۱۱-۱۳]. تعدادی از پژوهشگران، نیز این شکل‌ها را حاصل فرایندهای جدایش بلوری و اختلاط magmaای می‌دانند [۱۴]. به این شکل که در زمان تبلور کانی‌ها در یک اتاق magmaای، magmaهای میفیک بطور متناوب به درون magmaی در حال جدایش تزریق شده و پلازیوکلازها بصورت منطقه‌بندی در می‌آیند [۱۴]. در گدازه‌های منطقه، علاوه بر پلازیوکلازهای حاوی بافت ناتعادلی، می‌توان پلازیوکلازهایی را نیز دید که ظاهری روشن داشته و اثری از ناتعادلی را نشان نمی‌دهند. این بلورها با گدازه‌ی میزبان در تعادل بوده و ریزدانه‌ترند. گاهی هر دو گروه پلازیوکلاز که بافت‌های تعادلی و ناتعادلی دارند در یک سنگ و در کنار یکدیگر دیده می‌شوند.

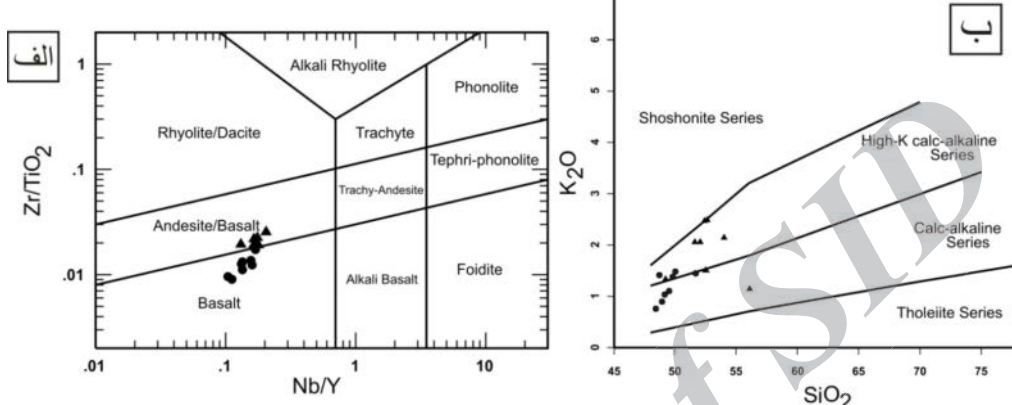
یکی از شکل‌های بافتی موجود در گدازه‌های منطقه، آمیختگی^۲ است که در مقاطع بازالتیک آندزیت به خوبی می‌توان آنها را مشاهده کرد. در این سنگ‌ها، بخش‌های تیره و روشن نامنظمی دیده می‌شوند که از نظر رنگ زمینه و اندازه‌ی بلورها و حتی نوع آنها، با یکدیگر تفاوت دارند. بخش تیره‌تر به

1 Chilled Magmatic Enclaves

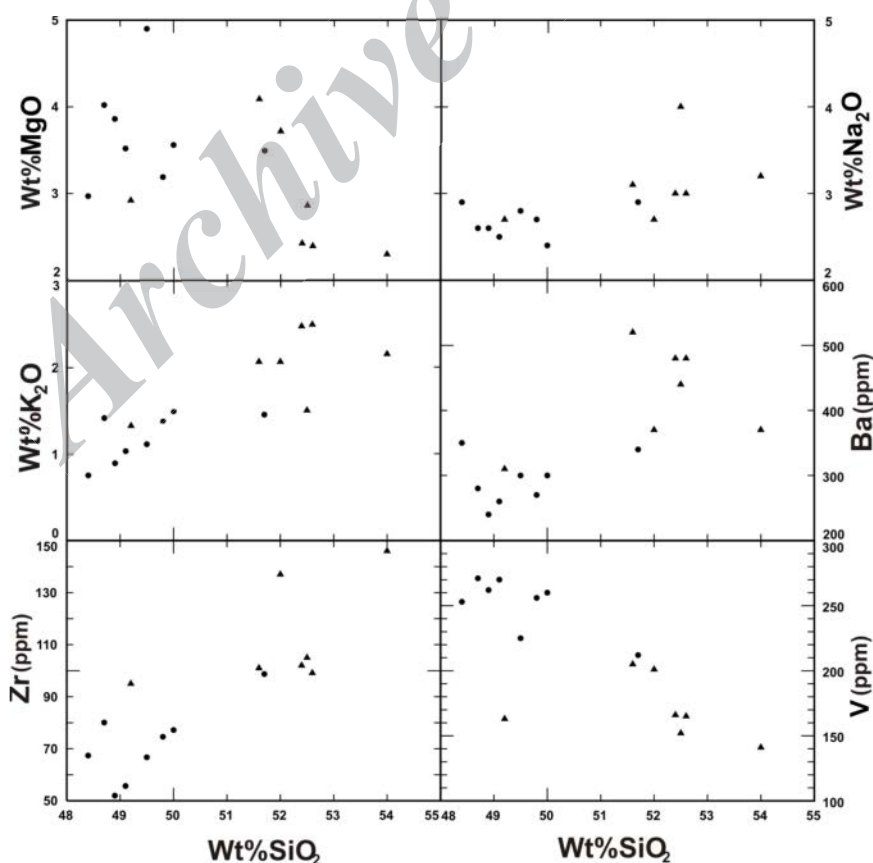
2 Mingling

[۲۰، ۲۱]. هنگامی که ماغماها، فرایندهای تبلور جدایشی را بدون آلودگی پوسته‌ای طی می‌کنند، داده‌های مربوط به تجزیه‌ی شیمیایی آنها در نمودارهای هارکر، یک روند خطی پیوسته را به نمایش می‌گذارند. در شکل ۴، این روند خطی در مورد سنگ‌های کوه چهلتن دیده می‌شود ولی پیوسته نبوده و کمی پراکندگی دارد که شاید به دلیل آلودگی پوسته‌ای باشد.

کلسیک و کلینوبیروکسن و نیز به جدایش الیوین وابسته باشند [۱۷-۱۹]. روندهای سعودی در بعضی از این نمودارها (مانند K_2O , Na_2O , Zr , P_2O_5 و Ba)، می‌تواند به آن بدلیل باشد که این اکسیدها و عناصر، در اوایل جدایش به صورت ناسازگار عمل کرده و تمایل دارند در ماغما باقی بمانند و با افزایش جدایش، وارد کانی‌های با دمای پایین می‌شوند



شکل ۳ (الف) موقعیت سنگ‌های آتش فشانی کوه چهلتن در نمودار نامگذاری Nb/Y / Zr/TiO_2 نسبت به [۱۵] (ب) تعیین سری ماغمایی گدازه‌های کوه چهلتن با استفاده از نمودار K_2O / SiO_2 نسبت به [۱۶] (علائم شامل دایره توپر: بازالت، مثلث توپر: بازالتیک آندزیت).



شکل ۴ تغییرات اکسیدهای اصلی و عناصر فرعی و کمیاب در برابر درصد وزنی SiO_2 برای نمونه‌های گدازه‌ای کوه چهلتن (علائم مشابه شکل ۳).

بازالت‌های منطقه نسبت $\frac{Eu}{Eu^*} = 0,317$ است). تشابه بین طرح کلی عناصر خاکی نادر در بازالت‌ها و بازالتیک آندزیت‌های منطقه، می‌تواند نشان دهنده‌ی یک خاستگاه مشترک برای آنها باشد. الگوی تقریباً مسطح فراوانی HREE⁹ در این نمودار قابل توجه است.

بررسی نمودارهای تشخیص محیط زمین‌ساختی نشان می‌دهد که گذارهای منطقه، بیشتر در محیط حاشیه‌ی قاره‌ای فعال و جزایر قوسی قرار می‌گیرند. به همین صورت در نمودار منطقه، در گستره‌ی قوس ماقمایی ناشی از پرورانش قرار می‌گیرند. همچنین در نمودار Hf/3-Th-Ta¹⁰ (شکل ۶ ب) (شکل ۶ ب)، نمونه‌های گذارهای منطقه، در آتش فشانی واقع می‌شوند. تعدادی از پژوهشگران [۳۰]، سنگ‌های آتش فشانی واقع در کمرنگ ارومیه - دختر را جزء کمان‌های ماقمایی جوان و نابالغ^{۱۱} یا مراحل آغازین کمان ماقمایی می‌دانند و منطقه‌ی کوه چهلتن نیز احتمالاً در چنین محیطی تشکیل شده است. در نمودار Ti/100-Zr-Y¹² (شکل ۶ پ)، نمونه‌های بازالتی منطقه در گستره‌های B و C (شکل ۶ پ)، نمونه‌های بازالتی منطقه در گستره‌های آهکی - قلایی به دست می‌دهند، ولی اگر دگرسان نباشند، می‌توان مبهمی به دست می‌دهند، که در این نمودار در گستره‌ی B قرار می‌گیرند، نتایج هایی که در این نمودار در گستره‌ی A همچنین در یکدیگر جدا کرد [۳۴] که در این نمودار، اغلب این نمونه‌ها در گستره‌ی بازالت‌های آهکی - قلایی و تعداد کمی نیز در گستره‌ی بازالت‌های جزایر قوسی قرار گرفته‌اند.

برای بررسی شکل گیری‌های ماقمایی سنگ‌های مورد بررسی، از مدل‌سازی‌های ژئوشیمیایی مختلف کمک گرفته شد. یکی از این مدل‌سازی‌ها در نمودار Y-Nb-Rb (شکل ۷) آمده است [۳۷-۳۵]. روندهای عمودی داده‌ها در این نمودار، می‌تواند غنی‌شدگی منطقه‌ی فروزانش یا آلودگی پوسته‌ای را نشان دهد، در حالیکه غنی‌شدگی درون صفحه‌ای، باعث به وجود آمدن روند شیبدار، بین Nb و Rb (Nb/Y=1) می‌شود [۳۳]. در این نمودار، نمونه‌های بازالتی منطقه‌ی مورد بررسی، به صورت عمودی آرایش یافته‌اند که می‌تواند نشان دهنده‌ی غنی‌شدگی زون فروزانش یا آلودگی پوسته‌ای این نمونه‌ها باشد. در بازالت‌های منطقه، نسبت Y-Nb پائین بوده (-۰,۱۸) و نشان دهنده‌ی تهی شدگی HFSE در این سنگ-

در شکل (۵ الف) که نمونه‌های سنگی منطقه نسبت به گوشه‌ی اولیه^{۱۲} به هنجار شده‌اند، عنصر Nb نسبت به La و عناصر دیگر، بیهنجاری منفی نشان می‌دهد. Ti، P و Zr نیز آندکی بیهنجاری منفی دارند، در حالیکه K، Rb و Sr غنی شدگی نسبی نشان می‌دهند. برخی از مؤلفین، بیهنجاری منفی Nb و Ti همراه با غنی شدگی LREE^{۱۳} و بیهنجاری مثبت K را نشان دهنده‌ی یک محیط قوس قاره‌ای وابسته به فرورانش می‌دانند [۲۳,۲۲]. همچنین مقدار بالای Ce^{۱۴} LILE، Rb، Ce^{۱۵} و Hf، Zr، Ta، Nb، Pb، Sr، Ba، K و U نسبت به (شکل ۵ ب) نسبت به (شکل ۵ ب) همراه با غنی شدگی LREE^{۱۶} و بیهنجاری مثبت K (Ti) و بیهنجاری منفی Ta، Nb و Ti در آندزیت‌ها، ویژگی گذارهای آندزیتی آهکی - قلایی در حاشیه‌های قاره‌ای همگرای جدید است. چنین روندهایی توسط تعدادی از پژوهندگان، در مجموعه‌ی آتش فشانی آهکی - قلایی آرکین پسین، در منطقه‌ی تشكیلات کورنالپی و گیندالبی^{۱۷} در غرب استرالیا نیز گزارش شده است [۲۴]. در تازه‌ترین گذارهای بازالتیک آندزیت آتش فشان پلیستوسن پیلاوو^{۱۸} در غرب کوردیرا در اکواور، غنی شدگی LILE و بیهنجاری منفی شدید Nb و Ta گزارش شده [۲۵] و از آثار شاخص ژئوشیمیایی مناطق فروزانش به شمار رفته است. چنین حالتی در نمونه‌های منطقه‌ی مورد بررسی (کوه چهلتن) نیز مشاهده شود. مقایسه نمودارهای عنکبوتی بازالتی آندزیت‌ها و بازالت‌های منطقه‌ی مورد بررسی (شکل ۵ الف) نشان می‌دهد که هر دو گروه سنگی، دارای الگوی مشابهی هستند. روند تغییرات عناصر فرعی و کمیاب این سنگ‌ها، در تمام بخش‌ها مشابه بوده و با یکدیگر همپوشی دارند. این نشان می‌دهد که هر دو گذارهای منطقه می‌توانند یک خاستگاه مشترک داشته باشند [۲۳] و یا اینکه آندزیت بازالت‌ها، از جدایش بلورین بازالت‌ها بوجود آمده‌اند [۲۶].

در شکل (۵ ب) [۲۷]، نمونه‌های سنگی منطقه‌ی یک الگوی تقریباً یکنواختی با سیر نزولی را نشان می‌دهند که بدلیل غنی شدگی LREE است. در این نمودار، عنصر Eu نسبت به عناصر پیرامون، بیهنجاری منفی نشان می‌دهد (برای بازالتیک آندزیت‌های منطقه نسبت $\frac{Eu}{Eu^*} = 0,281$ و برای

3 Primitive Mantle

4 Light Rare Earth Elements

5 Large Ione Litophile Elements

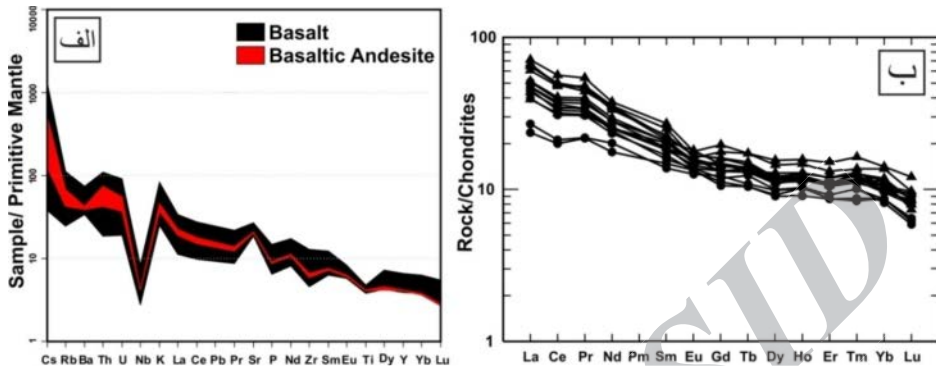
6 High Field Strain Elements

7 Kurnalpi & Gindalbie Terranes

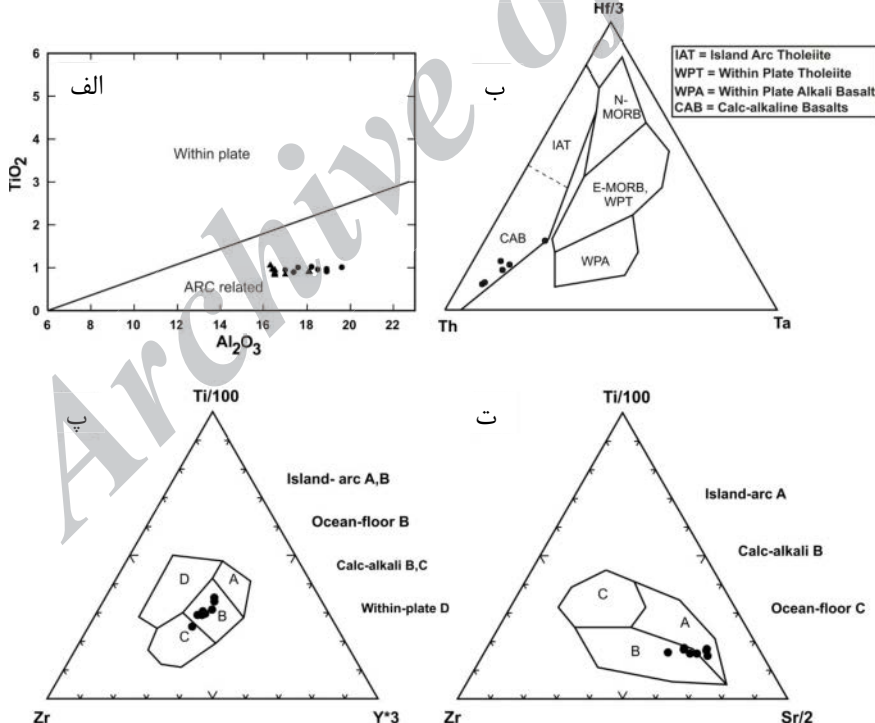
8 Pilavo Volcano

گوشه‌ای بالای صفحه فرورو منتقل می‌شوند [۳۹, ۳۸]. در نتیجه، تهی شدگی عناصری مانند Ta، Nb و Ti در گدازه‌های منطقه را می‌توان به این دلیل دانست که احتمالاً ماقمای مادر این گدازه‌ها، از گوهی گوشه‌ای بالای زون فرورانش ریشه گرفته است.

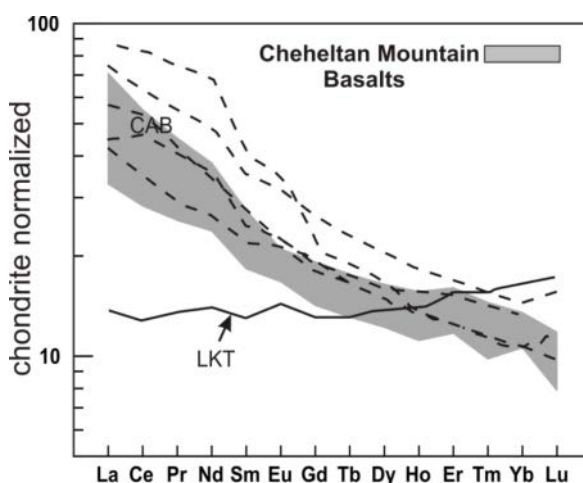
هاست. این حالت در گدازه‌های وابسته به فرورانش، در نقاط مختلف دنیا نیز دیده می‌شود [۳۸]. در منطقه‌ی فرورانش، عناصر با شدت میدان شدید (مانند Ta، Nb و Ti)، درون صفحه‌ی فرورو باقی می‌مانند، در حالی که عناصر با شدت میدان ضعیف (مانند K، Rb و Ba) به راحتی به درون گوه میدان مشابه شکل ۳.



شکل ۵ (الف) نمودار عنکبوتی عناصر فرعی و کمیاب بهنجار شده نسبت به گوشه‌ی اولیه [۲۹] برای نمونه‌های بازالت و بازالتیک آندزیت کوه چهلتن. مشاهده می‌شود که روند هر دو نوع گدازه با یکدیگر همپوشی دارند. (ب) نمودار عناصر خاکی نادر جریان‌های گدازه‌ای کوه چهلتن، بهنجار شده نسبت به کندریت [۲۷] (علاوه مشابه شکل ۳).



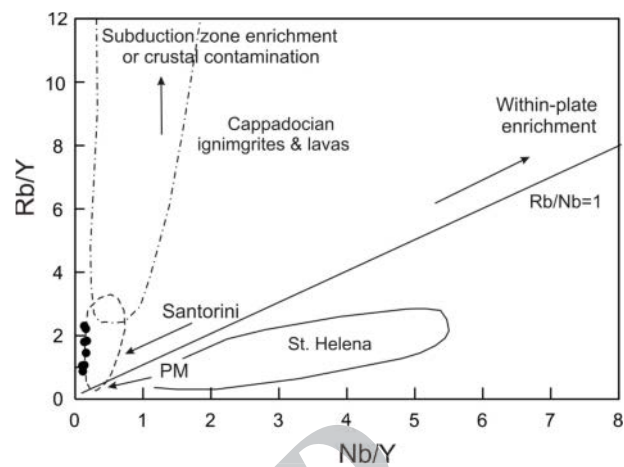
شکل ۶ (الف) موقعیت زمین‌ساختی گدازه‌های کوه چهلتن با استفاده از نمودار تعییرات TiO_2 سببت به Al_2O_3 [۲۸]; (ب) موقعیت زمین‌ساختی بازالت‌های کوه چهلتن با استفاده از نمودار مثلثی $\text{Hf}/3\text{-Th-Ta}$ [۲۹]; (پ) موقعیت تکتونیکی بازالت‌های کوه چهلتن با استفاده از نمودار متایز کننده بازالت‌ها بر اساس $\text{Ti}/100\text{-Zr-Y}^*3$ [۳۲]; (ت) موقعیت تکتونیکی بازالت‌های کوه چهلتن با استفاده از نمودار متایز کننده بازالت‌ها بر اساس $\text{Ti}/100\text{-Zr-Sr}$ [۳۲] (علاوه مشابه شکل ۳).



شکل ۸ روند عناصر خاکی نادر بهنجار شده نسبت به کندریت برای نمونه‌های کوه چهلتن در مقایسه با تولئیت‌های فقیر از پتابسیم (LKT) و بازالت‌های آهکی-قلیایی مناطق قوس آتشفسانی (CAB) (داده‌های CAB و LKT از [۲۹]).

تشکیل می‌شوند. همچنین مagmaهای سازنده‌ی این سنگ‌ها، آثار آلودگی پوسته‌ای یا ورود مواد پوسته‌ای از لیتوسفر فرورو را نشان داده و می‌توانند حاصل ذوب‌بخشی یک گوشته‌ی دگرنهاد شده. زیرا حرک عنصر کمیاب ناسازگار هنگام آبزدایی لیتوسفر اقیانوسی فرورو، فرایندی است که احتمالاً در تشکیل magmaهای آهکی-قلیایی موثر است و پژوهشگران زیادی معتقدند که در این شرایط، عناصری همچون Ba, Rb, K, Sr, Rb, Ce, Th, P, Sm می‌توانند همراه با سیالات حرکت کرده و به سمت گوهی گوشته‌ای صعود و آن را دگرنهاد کنند [۳۹]. هر چند که در magmaهای بازالتی و آندزیتی، عناصر خاکی نادر، در کانی‌های اولیه، ناسازگار بوده و مقدارشان در گدازه بالاتر از کندریت است، اما افزایش مقدار LREE نسبت به عناصر خاکی نادر سنگین می‌تواند به علت تبلور الیوین و پپروکسن باشد. زیرا ضرب توزیع REE در این کانی‌ها از La تا Lu افزایش می‌یابد و تبلور جدایشی این کانی‌ها می‌تواند گدازه باقیمانده را از LREE غنی سازد (نسبت به HREE). این تبلور اولیه و جدایی کانی‌هایی نظیر الیوین و پپروکسن در، بافت سنگ‌های منطقه کوه چهلتن به خوبی مشهود است.

بازالت‌های آهکی-قلیایی، نسبت به بازالت‌های پشتی میان اقیانوسی، از عناصری که پتانسیل یونی پایین دارند K, Sr, Rb و Ba غنی‌تر بوده و از عناصری که پتانسیل یونی بالا (Sc, Y, Ti, Sm, Hf, Zr, P, Ce, Nb, Ta) مثل Sc, Y, Ti, Sm, Hf, Zr, P, Ce, Nb, Ta دارند (مثلاً).



شکل ۷ نمودار Y/Rb نسبت به Nb/Y [۳۳]، برای نمونه‌های بازالتی کوه چهلتن. برای مقایسه، میدان سنت هلن^{۱۱}، ایگنیمیریت‌ها و گدازه‌های کاپادوسين^{۱۲} و گدازه‌های سانتورينی^{۱۳} نشان داده شده‌اند [۳۷-۳۵] (علام به دایره توپر؛ بازالت).

مقایسه‌ی فراوانی عناصر خاکی نادر در بازالت‌های منطقه با انواع شناخته شده‌ی بازالت تولئیتی و آهکی-قلیایی (شکل ۸)، نشان می‌دهد که الگوی داده‌های عناصر خاکی نادر وابسته به گدازه‌های کوه چهلتن، شباهت زیادی به روند عناصر خاکی نادر CAB (بازالت‌های آهکی-قلیایی ساخته از مناطق قوسی^{۱۴}) دارد، اما این نمونه‌ها نسبت به LKT (تولئیت‌های کم پتابسیم فقیر از عناصر ناسازگار^{۱۵})، از LREE بسیار غنی‌تر بوده و حاوی مقدار پایین‌تری از HREE هستند.

بحث

منطقه‌ی مورد بررسی شامل تنایوی از گدازه و پپروکلاستیک بوده و گدازه‌ها از نوع بازالت و بازالتیک آندزیت هستند. گدازه‌های مورد نظر، غنی از درشت بلور بوده و پلازیوکلاز در آنها غالب است. در مقاطع نازک، آثار عدم تعادل در کانی‌های نظیر پلازیوکلاز دیده شده و آمیختگی magmaهایی با ترکیب تقریباً مشابه در سنگ‌ها وجود دارد. از نظر شیمیایی سنگ‌ها به بازالت‌های آهکی-قلیایی مناطق فرورانشی شبیه‌اند و احتمالاً جزء سنگ‌هایی هستند که در کمان‌های magmaی جوان و نابالغ

11 St. Helena

12 Cappadocian

13 Sontorini

14 Calc-alkaline basalts

15 Incompatible element-depleted low-K tholeiite

مسئله‌ی دیگری که در نمودارهای ژئوشیمیایی و نمودارهای تشخیص محیط زمین‌ساختی دیده می‌شود، تمایل بعضی از نمونه‌های منطقه مورد بررسی به سمت سنگ‌های فوران یافته در جزایر قوسی است. به این ترتیب که در بعضی از نمودارها، نمونه‌های منطقه، هم در حاشیه‌ی قاره‌ای فعال و هم در محیط جزایر قوسی قرار می‌گیرند و ترکیب شیمیایی نمونه‌ها نیز به بعضی از سنگ‌های جزایر قوسی شباهت دارد. این موضوع ممکن است به دلیل دگرسانی نمونه‌ها باشد و بایستی در بررسی‌های بعدی مورد توجه قرار گیرد.

برداشت

شواهد مختلف نشان می‌دهد که گدازه‌های کوه چهلتن، محصول جدایش ماقماهایی هستند که در ابتدا از ذوب بخشی یک گوشه‌ای دگرنهاد، در بالای یک رون فروزانش ایجاد شده‌اند. محیط زمین‌ساختی این ماقماها می‌تواند یک حاشیه‌ی اند. محیط زمین‌ساختی این ماقماها می‌تواند در بخش‌فعال قاره‌ای باشد. ماقماهای مورد نظر حین صعود در بخش‌هایی از پوسته توقف داشته و در اتاق‌های ماقمایی، ضمن تبلور کانی‌های الیوین، کلینوپیروکسن و پلازیوکلارز، به دفعات مورد هجوم ماقماهای اولیه و اصیل تر قرار می‌گرفته‌اند. اختلالات ماقمایی، تبلور جدایشی و آلودگی پوسته‌ای، به روشنی در بافت و ترکیب شیمیایی این سنگ‌ها دیده می‌شوند.

مراجع

- [1] Shahabpour J., Kramers J. D., "Lead isotope data from the Sarcheshmeh porphyry copper deposit", Iran. Mineral Deposita. Vol. 22. P. 275-281.
- [2] Dimitrijevic M. D., "Geology of Kerman Region", Geol. Sur. Iran, Yu. No.52 (1973).
- [3] Geological Map Of Bardsir, (1:100000), 1992. Geological Survey of Iran.
- [4] Geological Map Of Chahar Gonbad - sheet 7249, (1:100000), 1971. Geological Survey of Iran.
- [5] حسینی قائمی، محبی، گزارش نقشه ۱/۲۵۰۰۰ زمین شناسی سیرجان (۱۹۹۵).
- [6] Mackenzie W. S., Donaldson C. H., Guilford C., "Atlas of igneous rocks and their texture", Longman group (1988).
- [7] Shelley D., "Igneous and metamorphic rocks under the microscope. In: Kuscu. G.G. and Floyd. P. A.", 2001. Mineral compositional and textural

تهی ترند. غنی شدگی این سنگ‌ها از عناصر با پتانسیل بونی پایین، به دگرنهادی خاستگاه گوشه‌ای آنها به شاره‌های آزاد شده از لیتوسفر فرورو نسبت داده می‌شود. در مقابل، پایین بودن فراوانی عناصر با پتانسیل یونی بالا را می‌توان به درجات بالاتر ذوب‌بخشی و پایداری این عناصر در فازهای دیرگداز ورقه فرورونده نسبت داد. به این ترتیب یک خاستگاه گوه گوشه‌ای دگرنهاد بالای رون فروزانش برای سنگ‌های منطقه، منطقی به نظر می‌رسد.

بازالت‌های منطقه مورد بررسی، که احتمالاً از ذوب بخشی گوهی گوشه‌ای دگرنهاد به وجود آمده‌اند، اولیه نیستند، یعنی مقدار MgO در آنها کمتر از گدازه‌ی اولیه گوشه‌ای است، به طوریکه به نظر می‌رسد در مخازن پوسته‌ای یا در زیر پوسته (یعنی مرز پوسته و گوشه) متوقف شده و ضمن تبلور بخشی (تبلور الیوین و کلینوپیروکسن)، اندکی دستخوش آلودگی پوسته‌ای شده‌اند. علیرغم توقف این ماقماها، جدایش گسترده در آنها صورت نگرفته و ماقماهای اسیدی از جدایش آنها ایجاد نشده است. این امر می‌تواند به دلیل فعل بودن مخازن ماقمایی و فوران‌های پی در پی، یا به دلیل ورود پی در پی ماقماهای جدید مافیک به مخازن ماقمایی باشد. به طوری که ورود این ماقماها، مانع از جدایش شدید ماقماهای اولیه شده و ترکیب آنها را در حد بازالت یا بازالتیک آندزیت نگه داشته است. گاهی نیز دو ماقما، پیش از اینکه کاملاً مخلوط شوند و به صورت ماقمای دورگه (هیبرید^۶) در بیانند، فوران کرده و شکل‌های آمیخته را به وجود آورده‌اند.

در مورد نوع ماقمای اولیه‌ای که از گوشه به وجود آمده نمی‌توان به درستی نظر داد، زیرا در منطقه مورد بررسی، ماقماهای اولیه‌ای که بتواند بازالت‌های آهکی-قلیابی موجود را بسازند دیده نشد. اما شاید بتوان گفت که ماقماهای تولئیتی فقیر از پ TASIM، نقش گدازه‌های مادر بازالت‌های منطقه را ایفا کرده‌اند، زیرا از نظر فراوانی عناصر نادر خاکی، این توانایی در آنها وجود دارد. علاوه بر این، در مناطق مشابهی در دنیا، وجود این ماقماهای تولئیتی به عنوان ماقماهای مادر، اثبات شده است [۲۱]، اما برای ارائه نظر قطعی، باید بررسی‌های دقیق‌تر (ایزوتوپی و مدل سازی‌های ژئوشیمیایی) انجام شود.

- [14] Macdonald R., Belkin H.E., Fitton J.G., Rogers N.W., NejBert K., Tindle A.G., Marshall A.S., "The roles of fractional crystallization, magma mixing, crystal mush remobilization and volatile-melt interactions in the genesis of a young basalt-peralkaline rhyolite suite, the Greater Olkaria Volcanic Complex", Kenya Rift Valley. Journal of Petrology, v.49, n.8 (2008) 1515-1547.
- [15] Pearce J. A., "A users guide to basalt discrimination diagrams. In: Wman, D. A., (ed), Trace element geochemistry of volcanic rocks: Application for massive sulphide exploration", Geol. Assoc. Canada, short course notes. 12. 70-113.
- [16] Peccerillo A., Taylor S. R., "Geochemistry of Eocene Calc-alkaline volcanic rocks from the Kastamoun area", northern Turkey. Contr. Mineralogy and Petrology. 58 (1976) 63-81.
- [17] Temel A., Gundogdu M.N., Gourgaud A., "Petrological and geochemical characteristics of Cenozoic high-K calc-alkaline volcanism in Konya", Central Anatolia, Turkey. Journal of Volcanology and Geothermal Research. 85, 327-354.
- [18] Kheir Khah. M., Allen. M.B., Emami. M., "Quaternary syn-collision magmatism from the Iran/Turkey borderlands" Journal of Volcanology and Geothermal Research. 182 (2009) 1-12.
- [19] Green T. H., "Island arc and continent-building magmatism: a review of petrogenetic models based on experimental petrology and geochemistry", In: Wilson. M., 1989. Igneous Petrology: A Global Tectonic Approach. Published by Springer. The Netherlands.Uk. (1980).
- [۲۰] [۲۰] میسن ب., مور ک., ترجمه: م. بهرامی، ۱۳۸۰. مبانی زئوژیمی. انتشارات دانشگاه پیام نور.
- [21] Sun S. -s., Mc Donough W. F., "Chemical and isotopic systematic of oceanic basalts: implications for mantle composition and processes. In: Schmidt. M.E. & Grunder. A.L., 2011. Deep Mafic Roots to Arc Volcanoes: Mafic Recharge and Differentiation of Basaltic Andesite at North Sister Volcano, Oregon Cascades", Journal of Petrology. v. 0; n.0, (1989) 1-39.
- [22] Marchev P., Raicheva r., Downes H., Vaselli O., Chiaradia M., Moritz R., "Compositional diversity of Eocene-Oligocene basaltic magmatism in the Eastern Rhodopes, SE Bulgaria: implications for genesis and tectonic setting. In: evidence for magma mingling in the Saraykent volcanic. Lithos. 56 (1993) 207-230.
- [8] Humphreys M.C.S., Blundy J.D., Sparks R.S.J., "Magma Evolution and Open-System Processes at Shiveluch Volcano: Insights from Phenocryst Zoning", Journal of Petrology. vol. 47; num. 12 (2006) p 2303-2334.
- [9] Nelson S. T., Montana A., "Sieved textured plagioclase in volcanic rocks produced by rapid decompression. In: Kuscu. G.G. and Floyd. P. A., 2001", Mineral compositional and textural evidence for magma mingling in the Saraykent volcanic. Lithos. 56 (1992) 207-230.
- [10] Johannes W., Koepke J., Behrens H., "Partial melting reactions of plagioclases and plagioclase-bearing systems. In: Izbekov. P.E., Eichelberger. J.C., Patino. L.C., Vogel. T.A., Iranov. B.V., 2002.", Calcic cores of plagioclase phenocrysts in andesite from Karymsky volcano: Evidence for rapid introduction by basaltic replenishment. Geological society of America. v. 30; no. 9; p. 799-802.
- [11] Eichelberger J. C., "Andesitic volcanism and crustal evolution. In: Izbekov. P.E., Eichelberger. J.C., Patino. L.C., Vogel. T.A., Iranov. B.V., 2002. Calcic cores of plagioclase phenocrysts in andesite from Karymsky volcano", Evidence for rapid introduction by basaltic replenishment. Geological society of America. v. 30; no. 9; p. 799-802.
- [12] Davidson J., Tepley F., III Palacz Z., Meffan-Main S., "Magma recharge, contamination and residence times revealed by in situ laser ablation isotopic analysis of feldspar in volcanic rocks. In: Izbekov, P.E., Eichelberger, J.C., Patino, L.C., Vogel, T.A., Iranov, B.V., 2002. Calcic cores of plagioclase phenocrysts in andesite from Karymsky volcano", Evidence for rapid introduction by basaltic replenishment. Geological society of America. v. 30; no. 9; p. 799-802.
- [13] Singer B. S., Dungan M. A., Layne G. D., "Textures and Sr, Ba, Mg, Fe, K and Ti compositional profiles in volcanic plagioclase: Clues to the dynamics of calc-alkaline magma chambers. In: Izbekov. P.E., Eichelberger. J.C., Patino. L.C., Vogel. T.A., Iranov. B.V., 2002. Calcic cores of plagioclase phenocrysts in andesite from Karymsky volcano", Evidence for rapid introduction by basaltic replenishment. Geological society of America. v. 30; no. 9; p. 799-802.

- [31] Shahabpour J., "Island - arc affinity of the Central Iranian Volcanic Belt", Journal of Asian Earth Sciences. 30,(2007) 652-665. In:
- [32] Pearce J. A., Cann J. R., "Tectonic setting of basic volcanic rocks determined using trace element analyses". Earth and Planetary Science Letters. 19 (1973) 290-300.
- [33] Edwards C., Menzies M., Thirlwall M., "Evidence from Muriah, Indonesia, for the interplay of supra-subduction zone and intraplate processes in the genesis of potassic alkaline magmas. In: Temel. A., Gundogdu, A. Gourgaud. M.N., 1998. Petrological and geochemical characteristics of Cenozoic high-K calc-alkaline volcanism in Konya, Central Anatolia, Turkey", Journal of Volcanology and Geothermal Research. 85 (1991) 327-354.
- [34] Rollinson H.R., "Using Geochemical Data: Evaluation, Presentation", Interpretation. Longman Scientific & Technical; Jhon Wiley & Sons, Inc. Longman Group UK Ltd (1993).
- [35] Huijsmans J. P. P., "Calc-alkaline lavas from the volcanic complex of Santorini, Aegean Sea", Greece. A petrological, geochemical and stratigraphy study. In: Temel. A., Gundogdu, A. Gourgaud. M.N., 1998. Petrological and geochemical characteristics of Cenozoic high-K calc-alkaline volcanism in Konya, Central Anatolia, Turkey. Journal of Volcanology and Geothermal Research. 85 (1985) 327-354.
- [36] Chaffey D. J., Cliff R. A., Wilson B. M., "Characterization of the st. Helena magma source", In: Temel. A., Gundogdu, A. Gourgaud. M.N., 1998. Petrological and geochemical characteristics of Cenozoic high-K calc-alkaline volcanism in Konya, Central Anatolia, Turkey. Journal of Volcanology and Geothermal Research. 85 (1989) 327-354.
- [37] Temel A., "Kapadokya eksplozif volkanizmasinin petrolojik ve jeokimyasal ozellikleri. In: Temel. A., Gundogdu, A. Gourgaud. M.N.", 1998. Petrological and geochemical characteristics of Cenozoic high-K calc-alkaline volcanism in Konya, Central Anatolia, Turkey. Journal of Volcanology and Geothermal Research. 85; 327-354.
- [38] Pearce J. A., "Role of subcontinental lithosphere in magma genesis at active continental margins: in continental basalts and mantle xenoliths. In: Temel. A., Gundogdu, A. Gourgaud. Asiabanza. A., Ghasemi. H. and Meshkin. M., 2009. Paleogene continental-arc type volcanism in NorthQazvin", North Iran: facies analysis and geochemistry. Schweizerbartsche Verlagsbuchhandlung. v. 186/2; (2004) p. 201-214.
- [23] Nicholson K. N., Black P. M., Hoskin P. W. O., Smith I. E. M., "Silicic volcanism and back-arc extension related to migration of the Late Cainozoic Astralian-Pacific plate boundary. In: Asiabanza. A., Ghasemi. H. and Meshkin. M., 2009. Paleogene continental-arc type volcanism in NorthQazvin, North Iran", facies analysis and geochemistry. Schweizerbartsche Verlagsbuchhandlung. v. 186/2; (2004) p. 201-214.
- [24] Barley M.E., Brown S.J.A., Krapez B., Kositcin N., "Physical Volcanology and geochemistry of a late Archaean volcanic arc: Kurnalpi and Gindalbie Terranes, Eastern Goldfields Superterrane", western Australia. Precambrian Research. 161 (2008) 53-76.
- [25] Chiaradia M., Muntener O., Beate B., "Enriched Basaltic Andesites from Mid-crustal Fractional Crystallization, Recharge, and Assimilation (Pilavo volcano, Western Cordillera of Ecuador)", Journal of petrology. V. 52; n. 6; (2011) p. 1107-1141.
- [26] Tamura Y., Yuhara M., Ishii T., Irino N., Shukuno H., "Andesites and Dacites from Daisen Volcano, Japan: Partial-to-Total Remelting of an Andesite Magma Body", Journal of Petrology. V. 44; n. 12 (2003) p. 2243 -2260.
- [27] Nakumara N., "Determination of REE, Ba, Fe, Mg, Na and K in carbonaceous and ordinary Condrite", Geochem. Cosmochim. Acta, 38 (1974) 757-775.
- [28] Muller D., Groves D. I., "Pottasic igneous and associated gold-copper mineralization. Springer-Verlag", (1997) 241p.
- [29] Wood D. A., "The application of a Th-Hf-Ta diagram to problems of tectonomagmatic classification and to establishing the nature of crustal contamination of basaltic lavas of the British Tertiary Volcanic Province", Earth and Planetary Science Letters. 50 (1980) 11-30.
- [۳۰] شهریاری ش، قربانی م، نصیری بزنجانی ر، ژئوشیمی و سنگ شناسی سنگ های آتش فشانی شمال شرق نراق؛ ماقماتیسم جزایر قوسی یا حواشی قاره ای فعال؟ مجله بلورشناسی و کانی شناسی ایران (۱۳۹۰) ص. ۲۶۲-۲۵۱

[39] Briqueu, et al?., "In: Temel. A., Gundogdu, A. Gourgaud. M.N., 1998. Petrological and geochemical characteristics of Cenozoic high-K calc-alkaline volcanism in Konya", Central Anatolia, Turkey. Journal of Volcanology and Geothermal Research. 85 (1991) 327-354.

M.N.", 1998. Petrological and geochemical characteristics of Cenozoic high-K calc-alkaline volcanism in Konya, Central Anatolia, Turkey. Journal of Volcanology and Geothermal Research. 85 (1991) 327-354.

Archive of SID